

تأثیر جای‌گزینی ساکاروز با اینولین و ترکیبات حجم دهنده روی ویژگی‌های رئولوژیکی و اندازه ذرات شکلات تلح کم‌کالری

شکوفه بیطرف^۱، سلیمان عباسی^{۲*}، زهره حمیدی^۳

۱- دانشآموخته کارشناسی ارشد، گروه علوم و صنایع غذایی، دانشکده کشاورزی، دانشگاه تربیت مدرس

۲- دانشیار، گروه علوم و صنایع غذایی، دانشکده کشاورزی، دانشگاه تربیت مدرس

۳- دانشیار، گروه علوم و صنایع غذایی، دانشکده کشاورزی، دانشگاه تربیت مدرس

(تاریخ دریافت: ۹۲/۱/۱۶ تاریخ پذیرش: ۹۲/۴/۲۹)

چکیده

شکلات مذاب تلح، تعليقی متشكل از ذرات غيرجرب، شکر و کاکائو است که در کره‌ی کاکائو به عنوان فاز پیوسته پراکنده شده‌اند، لذا تعیین ویژگی‌های رئولوژیکی شکلات در تولید محصولی با کیفیت بالا و بافت مناسب بسیار مهم می‌باشد. توزیع اندازه‌ی ذرات نیز یک شاخص کلیدی در ویژگی‌های رئولوژیکی شکلات است که به طور مستقیم بر پذیرش حسی شکلات موثر است. به همین دلیل در این بررسی تأثیر جای‌گزینی ساکاروز با یک ترکیب پری‌بیوتیک (اینولین) و دو ماده حجم‌دهنده (پلی دکستروز و مالتودکسترن) در نسبت‌های متفاوت (۱۰۰-۰-۰) و سوکرالوز (به عنوان شیرین‌کننده) بر برخی ویژگی‌های رئولوژیکی شکلات تلح پری‌بیوتیک مورد بررسی قرار گرفت. پاسخ‌های به دست آمده حاکی از آن بود که همه نمونه‌های شکلات دارای ویژگی تیکسوتروپیک بوده و رفتار شبه پلاستیک از خود نشان دادند. از بین مدل‌های ریاضی ارزیابی شده جهت پیشگویی ویژگی‌های رئولوژیکی شکلات، مدل کاسون مناسب‌ترین مدل برای این منظور تشخیص داده شد. جای‌گزینی ساکاروز تاثیر کمی بر ویژگی‌های ویسکوالاستیک نمونه‌ها داشت و گرانروی نمونه‌ها مستقل از زمان بود. اندازه ذرات نمونه‌های تولیدی نیز گرچه از نمونه تجاری بیشتر بود، اما زیر آستانه چشایی بود.

کلید واژگان: شکلات تلح کم‌کالری؛ اینولین؛ پلی دکستروز؛ مالتودکسترن؛ ویژگی‌های رئولوژیکی؛ اندازه ذرات.

۱- مقدمه

در مجموع تأثیر چربی بر گرانزوی پلاستیک بیش از تنش تسلیم است [۶].

افزایش رطوبت موجب افزایش گرانزوی و تنش تسلیم می‌شود. زیرا آب سبب تشکیل لایه‌ی شربت روی ذرات شکلات شده و این امر سبب افزایش اصطکاک بین این ذرات می‌گردد. به ازای هر 0.3° درصد رطوبت اضافی در انتهاهای عملیات کونچ کردن باید ۱ درصد چربی بیشتر استفاده گردد که این امر خود سبب افزایش هزینه‌های تولید شکلات می‌شود [۴]. رطوبت موجود در شکلات نیز می‌تواند به صورت آزاد یا پیوندی باشد که هرچه رطوبت پیوندی بیشتر باشد، بهتر است [۶].

نقش عمدۀ مواد امولسیون‌کننده، تشکیل یک پل بین دو ماده‌ی غیر قابل اختلاط (شکر و کره کاکائو) است. متداول‌ترین ماده‌ی امولسیون‌کننده در صنعت شکلات لسیتین است. افزودن لسیتین موجب کاهش گرانزوی می‌گردد اما مقادیر بیش از حد لسیتین سبب تغییر ویژگی‌های جریانی می‌شود زیرا افزایش بیش از حد لسیتین تنش تسلیم را افزایش داده در حالی که گرانزوی پلاستیک کاهش نمی‌باید. مقدار لسیتینی که می‌تواند استفاده شود تا حدود زیادی به توزیع اندازه‌ی ذرات بستگی دارد [۶]. توزیع اندازه‌ی ذرات نیز یک شاخص کلیدی در ویژگی‌های رئولوژیکی شکلات است که به طور مستقیم بر پذیرش حسی شکلات مؤثر است. ذرات درشت به دلیل شنی بودن در احساس دهانی بسیار موثرند اما ذرات ریز به دلیل تاثیر بر ویژگی‌های جریانی شکلات مهم‌تر هستند [۶]. کاهش اندازه‌ی ذرات هم سبب افزایش گرانزوی و تنش تسلیم می‌شود [۵]. در ضمن، معمولاً افزایش دما موجب کاهش گرانزوی می‌گردد [۵] و [۷] و در هنگام کونچ کردن نیز به سبب افزودن امولسیفایرها و کاهش میزان رطوبت، میزان گرانزوی و تنش تسلیم کاهش می‌یابند. لازم به ذکر است که حضور مقدار زیاد بلورهای چربی به دلیل مشروط کردن در دمای بالا نیز سبب کاهش حرکت مایع و در نتیجه افزایش گرانزوی و تنش تسلیم می‌شود [۸].

رفتار جریانی شکلات مذاب به صورت غیرنیوتونی و همراه با تنش تسلیم بوده و به وسیله‌ی بعضی مدل‌های ریاضی شامل بینگهام (Bingham) (معادله ۱)، کاسون (Casson) (معادله ۲)، توان (Power) (معادله ۳)، هرشل-بالکلی (-Herschel) و ویندھب (Windhab Model) (معادله ۴) و ویندھب (Bulkley) (معادله ۵) توصیف شده است.

امروزه با توجه به افزایش آگاهی مردم در مورد ضررهای مصرف زیاد قند، نگرانی افراد در مصرف شکلات با توجه به میزان کالری بالای آن افزایش یافته است. زیرا مصرف زیاد قند باعث چاقی شده و چاقی زمینه‌ساز بسیاری از بیماری‌ها مانند بیماری‌های قلبی، فشار خون بالا، کلسترول بالا، سکته و بعضی از سرطان‌ها می‌باشد [۱] به همین دلیل امروزه در میان تولیدکنندگان و مصرف کنندگان، شکلات‌های با کالری کاهش یافته از محبوبیت زیادی برخوردار شده‌اند [۲].

رئولوژی به عنوان علم مطالعه‌ی تغییرشکل و جریان مواد تعریف شده است. در تعریف کلاسیک، رئولوژی به دو بخش تغییرشکل (مربوط به مواد دارای ماهیت جامدمانند) و جریان (مربوط به مواد دارای ماهیت مایع مانند) تقسیم می‌گردد [۳]. از آنجایی که شکلات مذاب، تعلیقی متشکل از ذرات غیرچرب، شکر، کاکائو و شیر است که در کره‌ی کاکائو به عنوان فاز پیوسته پراکنده شده‌اند، لذا تعیین ویژگی‌های رئولوژیکی شکلات به‌ویژه گرانزوی و تنش تسلیم در تولید محصولی با کیفیت بالا و بافت مناسب بسیار مهم می‌باشد [۴]. گرانزوی عبارت از اصطکاک درونی یک سیال یا تمایل آن به مقاومت در برابر جریان است و تنش تسلیم در مایعات نقطه‌ای است که این مواد با کاهش تنش اعمال شده ابتدا رفتاری مشابه مواد جامد نشان داده و سپس تغییر شکل متوقف می‌شود [۳]. از جمله عوامل تاثیرگذار بر این ویژگی‌های رئولوژیکی می‌توان به میزان چربی، میزان رطوبت، امولسیون‌کننده‌ها، اندازه‌ی ذرات، دما، زمان کونچ کردن و مشروط کردن دمایی اشاره کرد [۲]. در ادامه به نقش هر یک از این عوامل اشاره شده است.

اصلًا شکلات‌ها حاوی ۲۵ الی ۳۵٪ چربی می‌باشند. ولی بعضی پوشش‌های بستنی شکلاتی دارای مقدار بالاتری از چربی و بعضی از شکلات‌های ویژه مانند ورمیشل‌ها دارای چربی کمتری هستند [۴]. افزایش چربی به ویژه کره کاکائو سبب کاهش گرانزوی و تنش تسلیم می‌شود [۵]. تاثیر افزایش درصد چربی روی گرانزوی بستگی به مقدار چربی اولیه و اینکه کدام یک از پارامترهای گرانزوی را در نظر بگیریم، دارد. مثلاً اگر چربی نمونه بالای ۳۲ درصد باشد، با افزودن ۱ درصد چربی تغییر بسیار اندکی در گرانزوی صورت می‌گیرد ولی اگر چربی نمونه ۲۸ درصد باشد، افزایش ۱ درصد چربی تاثیر بسیار زیادی به خصوص بر گرانزوی پلاستیک خواهد داشت.

320 ساخت اسپانیا) خرد شدند. سپس از الکهای آزمایشگاهی عبور داده شده و ذراتی که از الک مش ۴۰۰ میکرون) عبور کردند و روی الک مش ۶۳۵ میکرون) باقی ماندند، برای تهیه شکلات استفاده شدند. سپس برای تهیه نمونه‌های ۱۰۰ گرمی شکلات تلخ کم کالری، نخست کره کاکائو (۲۰ گرم) را در آون (Memmert مدل UFE500 ساخت کشور آلمان) ۶۰ درجه سانتی گراد ذوب کرده سپس پودر کاکائو (۲۶/۲ گرم)، جایگزین‌های قدر شامل اینولین، پلی- دکستروز و مالتودکسترین به تهابی یا به شکل ترکیب یکدیگر (۴۲/۸ گرم)، سوکرالوز (۰/۰۲ گرم) و وانیلین (۰/۵ گرم) به کره کاکائو ذوب شده اضافه شدند. مخلوط به دست آمده به وسیله مخلوطکن طراحی شده در آزمایشگاه با سرعت ۵۰ دور در دقیقه به مدت ۴ ساعت در حمام پارافین ۶۵ درجه سانتی گراد تحت عمل کونچ کردن قرار گرفت. در ضمن، به منظور اختلاط بهتر مواد و بهبود عملیات کونچ کردن تعدادی گوی فلزی به مخلوط فوق اضافه شد. با قیمانده کرده کاکائو (۱۰ گرم) و لیستین (۰/۵ گرم) در ۳۰ دقیقه نهایی کونچ کردن اضافه شدند [۲ و ۹]. نمونه‌های تهیه شده تا ۲۴ ساعت داخل آون ۶۰ درجه سانتی گراد نگهداری شدند، سپس دمای آنها به ۵۵ درجه سانتی گراد کاهش و به مدت ۳۰ دقیقه در این دما باقی ماندند. جهت انجام عملیات مشروط کردن دمایی (Tempering) در حین مخلوطکردن توسط مخلوطکن، دمای نمونه‌ها در مدت ۲۵-۲۰ دقیقه به ۲۸ درجه سانتی گراد رسانده شد و در این دما به مدت ۱۰ دقیقه نگهداری شدند. سپس ۵ دقیقه قبل از انتقال نمونه‌ها به قالب‌های پلاستیکی دما تا ۳۰ درجه سانتی گراد افزایش یافت. پس از طی این مدت نمونه‌ها به قالب منتقل شدند و در دمای ۱۵ درجه سانتی گراد به مدت ۳۰ دقیقه نگهداری شدند. پس از خروج از قالب، نمونه‌ها درون ورق‌های آلومینیومی بسته‌بندی و تا زمان انجام آزمایشات در یخچال نگهداری شدند [۵ و ۱۰]. نمونه شاهد نیز همانند روش بالا تهیه شد با این تفاوت که در ترکیب آن به حاوی، حاوی، حاوی، قدر اسکاراوز استفاده شد.

برای اندازه‌گیری ویژگی‌های جریانی و گرانشی نمونه‌ها از دستگاه رئومتر Physica Anton Paar مدل MCR 300 ساخت کشور اتریش، مجهز به ژئومتری استوانه‌های هم مرکز CC27 استفاده شد. این ژئومتری متشکلا از یک شاقول مدل

$$\sigma = \sigma_0 + (\sigma_1 - \sigma_0) \cdot [1 - \exp(-\gamma^{\circ} / \gamma^{*} + \eta_{\infty})]$$

معادله (۴)

در این معادلات، σ = تنش برشی، σ_0 = تنش تسیلم، η_{pl} = گرانزوی پلاستیک، γ° = سرعت برشی، K_1 = گرانزوی کاسون، n = شاخص قوام، η_{∞} = گرانزوی در نرخ برش های بالا و γ^* = نرخ برشی خطی، η_{∞} = مشخصه است.

با توجه به مطالب گفته شده و با توجه به نبود اطلاعات کافی در زمینه تاثیر جایگزینی شکر روی ویژگی های یاد شده در این بررسی در نظر است تاثیر جایگزینی ساکاروز با اینولین به عنوان یک ترکیب پری بیوتیک و برخی ترکیبات حجم دهنده روی برخی ویژگی های جریانی، رئولوژیکی و اندازه ذرات شکلات تلخ کم کالری مورد ارزیابی قرار گیرد.

۲- مواد و روش‌ها

٢-١- مواد

پودر کاکائو از شرکت Johor Darul Takzim, Delfi (Johor Darul Takzim, Delfi) کره کاکائو از شرکت Cargill (Kuala Lumpur, Malaysia) (Kuala Lumpur, Malaysia) ایالیل از شرکت گل‌ها (Tehran, Iran), پودر ساکاروز از شرکت آرشه (Tehran, Iran), ADM (Illinois, USA) (Illinois, USA) از Frutafit IQ (Roosendaal, Cosun- Sensus شرکت (Roosendaal, Cosun- Sensus شرکت Netherlands) (Netherlands) پلی دکستروز Littes (Bönningstedt, Germany) (Bönningstedt, Germany) Danisco (DE) (DE) ۱۶/۵ از شرکت مالتودکسترنین (Danisco) مورد استفاده دارای معادل دکستروز (Tate & Lyle) (Alabama, USA) (Alabama, USA) خردباری شرکت Splenda (Tate & Lyle) (Tate & Lyle) از دکستروز ایران (Tehran, Iran) و سوکرالوز (Splenda) (Tate & Lyle) (Tate & Lyle) شدنی.

۲-۲ - روش‌ها

۱-۲-۲- روش تهیه نمونه‌های شکلات

جهت آماده سازی مواد، ابتدا پودر اینولین، پلی دکستروز،
مالتودکسترن و شکر توسط آسیاب خانگی (Moulinex) مدل

در مدت ۱۶ دقیقه بررسی شد [۳].

۳-۲-۲- تعیین اندازه ذرات

برای تعیین اندازه ذرات نمونه‌های شکلات از دستگاه Master sizer (Malvern) مدل ۲۰۰۰ ساخت انگلیس استفاده شد. ابتدا حدود ۰/۲ گرم نمونه در ۱۰ سی سی اتانول حل شد، سپس به مدت ۲ دقیقه در حمام اولتراسوند (Tecna ۳، ساخت ایتالیا) با شدت پایین و دمای محیط قرار گرفت تا در حلال به خوبی حل و پراکنده شود. در مرحله بعد چند قطره از مخلوط حاصل به سل دستگاه اضافه گردید. باید توجه داشت که در داخل دستگاه نیز از اتانول به عنوان حلال استفاده شد [۱۱].

۳-۲- تجزیه و تحلیل آماری

برای ارزیابی آماری داده‌ها از نرم افزار SPSS 16.0 (SPSS Inc.) استفاده گردید. به منظور بررسی معنی‌دار بودن اختلاف موجود بین میانگین‌ها در آزمون‌های دستگاهی از روش ANOVA و جهت تعیین اختلافات از روش مقایسه چند دامنه‌ای دانکن استفاده شد. به علاوه، رسم نمودارها با کمک نرم افزار EXCEL انجام گرفت. هم‌چنین، اطلاعات به دست آمده از آزمایش‌های رئولوژیکی با استفاده از نرم افزارهای MATLAB 2008a و EXCEL رگرسیون‌های خطی و غیرخطی استفاده گردید.

۳- یافته‌ها و بحث

۱-۳- تعیین مدل ریاضی

به منظور دست‌یابی به مدل ریاضی مطلوب و قابل استفاده برای بررسی رفتار جریانی نمونه‌های شکلات تlux کم‌کالری، داده‌های به دست آمده از آزمون‌های رئولوژیکی (مد بالارونده) با مدل‌های بینگهام، توان، هرشل-بالکلی، کاسون و ویندهب مورد بررسی قرار گرفتند. مناسب‌ترین مدل با توجه به ضریب RMSE: تعیین (r^2)، ریشه دوم خطای میانگین از استاندارد (Root Mean Standard Error) و χ^2 انتخاب شد. چون ضریب تعیین (r^2) مدل کاسون برای همه نمونه‌ها بالای ۹۹ درصد بود و بین نمونه‌ها تفاوت زیادی مشاهده نشد، مدل کاسون به عنوان مناسب‌ترین مدل انتخاب شد (جدول ۱).

(Bob) با سطح مقطع دایره‌ای است که به صورت هم محور داخل یک فنجانک (Cup) حاوی سیال مورد آزمایش قرار گرفته و با دوران دادن شاقول یا فنجانک میزان کشیده شدن سیال روی گلوله توسط حس‌گرهای گشتاور پیچشی (Torque sensor) اندازه‌گیری می‌شود [۳ و ۷]. اندازه‌گیری‌ها مطابق روش فرzan مهر و همکاران انجام شد. ابتدا نمونه‌های شکلات در ظرفی دربسته حداقل به مدت ۷۵ دقیقه داخل آون ۵۰ درجه‌ی سانتی‌گراد قرار داده شدند. سپس نمونه‌های ذوب شده درون فنجانک ژئومتری استوانه‌های هم‌مرکز ریخته شدند. بعد از قرار دادن استوانه داخلی و قبل از شروع اندازه‌گیری‌ها نمونه‌ها به مدت ۱۰ دقیقه در دمای ۴۰ درجه‌ی سانتی‌گراد با سرعت برشی S^{-1} ۵ هم‌زده شدند. سپس در دمای ۴۰ درجه‌ی سانتی‌گراد میزان تغییرات تش‌برشی به عنوان تابعی از سرعت برشی در دامنه‌ی ۰/۰۱ تا S^{-1} ۶۰ (شیب افزایشی) و $60\text{~}S^{-1}$ ۱ (شیب کاهشی) هر کدام در مدت ۳ دقیقه اندازه‌گیری شد. سپس تطابق داده‌های تجربی با مدل‌های ریاضی بینگهام، کاسون، توان، هرشل-بالکلی و ویندهب که به اختصار در مقدمه توضیح داده شدند مورد بررسی قرار گرفت. سپس، مناسب‌ترین مدل ریاضی بر اساس شاخص‌های ضریب تعیین r^2 و χ^2 RMSE برای هر یک از نمونه‌ها گزارش شد [۴ و ۷ و ۹].

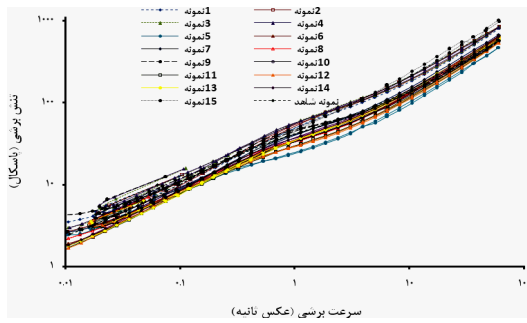
به منظور بررسی ویژگی‌های ویسکوالاستیک نمونه‌ها نیز از آزمون‌های نوسانی استفاده شد. برای این منظور، روند تغییرات ضریب ذخیره، G' (Storage modulus) و ضریب افت، G'' (Loss modulus) به صورت تابعی از بسامد زاویه‌ای، در محدوده‌ی ۰/۰۱ تا ۱۰۰۰ رادیان بر ثانیه (rad/s) در دمای ۴۰ درجه‌ی سانتی‌گراد اندازه‌گیری شد. جهت انجام آزمایش در ناحیه‌ی خطی ویسکوالاستیک، میزان کرنش اعمال شده در ناحیه‌ی خطی ویسکوالاستیک (Strain) ۰/۰۱ درصد بود. پس از انجام این مرحله تغییرات ضرایب ذخیره و افت (G' و G'') به صورت تابعی از زمان در بسامد ۱ هرتز (Hz) و میزان کرنش ۰/۰۱ درصد مورد بررسی قرار گرفت [۳ و ۷].

به منظور بررسی تغییرات ویسکوزیته نمونه‌های شکلات در طول زمان نیز از آزمون تیکسوتropی (thixotropic test) استفاده شد. برای این منظور، روند تغییرات ویسکوزیته در طول زمان در سرعت برشی ثابت S^{-1} ۵۰ (سرعت برشی اعمال شده در حفره دهانی) در دمای ۴۰ درجه‌ی سانتی‌گراد

جدول ۱ مقایسه تاثیر جایگزین‌های قند بر میزان برآورد داده‌های رئولوژیکی شکلات‌های تلخ با مدل‌های ریاضی متداول

نمونه				نمونه				نمونه				نمونه					
مدل‌های ریاضی		ساختمان		مدل‌های ریاضی		ساختمان		مدل‌های ریاضی		ساختمان		مدل‌های ریاضی		ساختمان			
۰/۹۸۴	۵/۸۰۱	کلسون	هرشل بلکلی	توان	ینگهام	۰/۹۹۹۵	۰/۹۹۸۳	۰/۹۹۷۲	۰/۹۹۳۴	۰/۹۸۹۴	۰/۹۸۴	۰/۹۹۹۷	۰/۹۹۹۴	۰/۹۹۸۸	۰/۹۹۷		
۰/۹۹۹۵	۰/۹۹۸۳	۰/۹۹۷۲	۰/۹۹۳۴	۰/۹۸۹۴	r^2	۰/۹۹۷	۰/۹۹۸۷	۰/۹۹۷	۰/۹۹۹۵	۰/۹۹۹۱	۰/۹۸۴۷	۰/۹۸۴	۰/۹۹۹۷	۰/۹۹۹۴	۰/۹۹۸۸	۰/۹۹۷	
۸/۹	۳۳/۶۴۷	۵۶/۹۶	۱۲۹/۲۹	۲۶۰/۹۱	χ^2	۰/۹۹۸۴	۳/۴۰۱	۵/۰۰۳	۷/۷۳۸	۱۰/۹۸	۰/۹۹۷	۰/۹۹۹۷	۰/۹۹۹۶	۰/۹۹۹۶	۰/۹۹۸۸	۰/۹۹۷	
۰/۹۹۹۷	۰/۹۹۹۴	۰/۹۹۸۸	۰/۹۹۷	۰/۹۹۳۹	r^2	۰/۹۸۹۱	۰/۹۸۹۱	۰/۹۸۹۱	۰/۹۹۸۳	۰/۹۹۹۹	۰/۹۸۸۲	۰/۹۸۴۷	۰/۹۹۹۷	۰/۹۹۹۶	۰/۹۹۸۸	۰/۹۹۷	
۷/۲	۱۱/۹	۲۵/۰۲	۵۹/۸۸	۱۲۰/۶۴	χ^2	۰/۹۹۹۵	۰/۹۹۹۶	۰/۹۹۹۶	۰/۹۹۷۳	۰/۹۹۵۱	۰/۹۸۷	۰/۹۸۷	۰/۹۹۹۷	۰/۹۹۹۶	۰/۹۹۸۸	۰/۹۹۷	
۰/۹۹۹۵	۰/۹۹۹۶	۰/۹۹۹۶	۰/۹۹۹۶	۰/۹۹۷۳	r^2	۰/۹۸۸۳	۰/۹۸۸۳	۰/۹۸۸۳	۰/۹۹۸۱	۰/۹۹۸۶	۰/۹۹۷۴	۰/۹۸۷۲	۰/۹۹۹۵	۰/۹۹۹۶	۰/۹۹۸۸	۰/۹۹۷	
۷/۷۳	۷/۳۲۳	۱۶/۹۸	۴۶/۸۵	۷۸/۰۸	χ^2	۰/۹۸۷	۰/۹۸۷	۰/۹۸۷	۰/۹۸۷	۰/۹۸۷	۰/۹۸۷	۰/۹۸۷	۰/۹۸۷	۰/۹۸۷	۰/۹۸۷	۰/۹۸۷	
۰/۹۸۵۷	۰/۶۹	۴/۰۹۵	۷/۰۴	۸/۸۹۷	RMSE	۰/۹۹۹۰	۰/۹۹۹۶	۰/۹۹۹۶	۰/۹۹۵۴	r^2	۰/۹۸۷۲	۰/۹۹۷۶	۰/۹۹۷۸	۰/۹۸۴۹	۰/۹۸۴۹	۰/۹۸۴۹	
۰/۹۹۹۰	۰/۹۹۹۶	۰/۹۹۹۶	۰/۹۹۹۶	۰/۹۹۷۱	۰/۹۹۵۴	۰/۹۸۱۲	۰/۹۸۱۲	۰/۹۸۱۲	۰/۹۸۱۲	χ^2	۰/۹۸۷	۰/۹۸۷	۰/۹۸۷	۰/۹۸۷	۰/۹۸۷	۰/۹۸۷	
۸/۱۶	۷/۶۷۶	۱۶/۷۶	۴۹/۰۵	۷۹/۱۴	χ^2	۰/۹۸۶	۰/۹۸۶	۰/۹۸۶	۰/۹۸۶	۰/۹۸۶	۰/۹۸۶	۰/۹۸۶	۰/۹۸۶	۰/۹۸۶	۰/۹۸۶	۰/۹۸۶	
۳/۹۱۲	۴/۰۱۷	۴/۴۳۹	۷/۷۶۶	۱۳/۰۶	RMSE	۰/۹۹۹۴	۰/۹۹۹۳	۰/۹۹۹۲	۰/۹۹۸۱	۰/۹۹۳	-	۰/۹۸۷	۰/۹۸۷	۰/۹۸۷	۰/۹۸۷	۰/۹۸۷	
۰/۹۹۹۴	۰/۹۹۹۳	۰/۹۹۹۲	۰/۹۹۸۱	۰/۹۹۳	r^2	۰/۹۹۹۵	۰/۹۹۹۳	۰/۹۹۸۹	۰/۹۹۷۳	۰/۹۹۳۱	-	۰/۹۸۷	۰/۹۸۷	۰/۹۸۷	۰/۹۸۷	۰/۹۸۷	
۱۵/۳۰	۱۶/۱۳۵	۱۹/۷۰	۴۵/۷۹	۱۶۹/۹۷	χ^2	۰/۹۸۱۱	۴/۰۹۷	۵/۳۱	۸/۱۰۲	۱۳/۰۸	RMSE	۰/۹۹۹۵	۰/۹۹۹۳	۰/۹۹۸۹	۰/۹۹۷۳	۰/۹۹۳۳	۰/۹۹۳۳
۱۳/۰۳	۱۶/۷۸۲	۲۸/۱۹	۶۵/۶۴	۱۷۱/۰۲	χ^2	۰/۹۸۲۱	۰/۹۸۱۲	۰/۹۸۱۲	۰/۹۸۱۲	۰/۹۸۱۲	-	۰/۹۸۷	۰/۹۸۷	۰/۹۸۷	۰/۹۸۷	۰/۹۸۷	
۲۰/۳۵	۲۱/۶۷	۲۱/۷۲	۲۱/۹۷	۲۹/۵	RMSE	۰/۹۹۲۱	۰/۹۹۰۵	۰/۹۹۰۷	۰/۹۹۰۲	۰/۹۸۱۸	r^2	۰/۹۸۲۱	۰/۹۸۲۱	۰/۹۸۲۱	۰/۹۸۲۱	۰/۹۸۲۱	
۰/۹۹۲۱	۰/۹۹۰۵	۰/۹۹۰۷	۰/۹۹۰۲	۰/۹۸۱۸	r^2	۰/۹۸۲۰	۰/۹۸۱۲	۰/۹۸۱۲	۰/۹۸۱۲	۰/۹۸۱۲	-	۰/۹۸۷	۰/۹۸۷	۰/۹۸۷	۰/۹۸۷	۰/۹۸۷	
۴۱۴/۲۰	۴۶۹/۷۹	۴۷۱/۰۸	۴۸۲/۰۸	۸۷۰/۱۹	χ^2	۰/۹۸۶۶	۰/۹۸۳	۰/۹۸۴	۰/۹۹۶۳	۰/۹۸۶۷	۰/۹۸۶	۰/۹۸۶	۰/۹۸۶	۰/۹۸۶	۰/۹۸۶	۰/۹۸۶	
۱۷/۰۷	۵/۹۹	۵/۷	۸/۶۴	۱۶/۰۵	RMSE	۰/۹۸۶۶	۰/۹۸۳	۰/۹۸۴	۰/۹۹۶۳	۰/۹۸۶۷	r^2	۰/۹۸۶	۰/۹۸۶	۰/۹۸۶	۰/۹۸۶	۰/۹۸۶	
۰/۹۸۶۶	۰/۹۸۳	۰/۹۸۴	۰/۹۹۶۳	۰/۹۸۶۷	-	۰/۹۸۶	۰/۹۸۶	۰/۹۸۶	۰/۹۸۶	۰/۹۸۶	شاهد	۰/۹۸۶	۰/۹۸۶	۰/۹۸۶	۰/۹۸۶	۰/۹۸۶	
۲۷۴/۳۲	۳۵/۳۲۳	۳۱/۰۲	۷۴/۷۹	۲۷۳/۰۸	χ^2	۰/۹۸۶	۰/۹۸۳	۰/۹۸۴	۰/۹۸۶	۰/۹۸۶	۰/۹۸۶	۰/۹۸۶	۰/۹۸۶	۰/۹۸۶	۰/۹۸۶	۰/۹۸۶	

بالارونده و پایینه رونده را کاهش داد. در برخی موارد، تیکسوتروپی مشاهده شده ممکن است ناشی از اثر لغزش نمونه روی دیوارهای ژئومتری باشد. اگر دیوارهای ژئومتری دارای سطح موج باشد کاهش در تنفس برشی تقریباً به طور کامل از بین خواهد رفت [۷ و ۸].



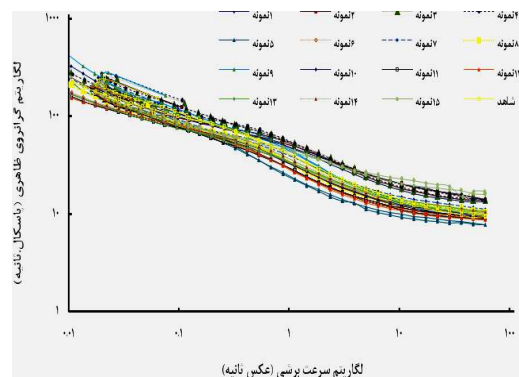
شکل ۱ تاثیر نسبت‌های مختلف (۰، ۲۵، ۵۰، ۷۵، ۱۰۰ درصد) جایگزین‌های قند (اینولین، پلی دکستروز و مالتودکسترین) روی

۲-۳ بررسی رفتار جریانی شکلات

جهت بررسی ویژگی‌های رئولوژیکی از نمودار تنفس برشی در برابر سرعت برشی استفاده شد. همان‌طور که در شکل ۱ مشاهده می‌شود حلقه‌ی پس‌ماند (Hysteresis loop) در تمامی نمونه‌ها بین دو نمودار افزایش و کاهش سرعت برشی مشاهده شد و هنگامی که سرعت برشی از 0.01 s^{-1} به 0.1 s^{-1} یافت، مقادیر تنفس برشی و گرانزوی نیز در سرعت‌های برشی یکسان نسبت به حالت افزایشی (از 0.01 s^{-1} به 0.1 s^{-1}) کاهش یافت. این رفتار به طبیعت ماده‌ی مورد آزمایش مستنگی داشته و نشان‌دهنده‌ی ویژگی تیکسوتروپیک در سیالات وابسته به زمان می‌باشد [۳]. ویژگی تیکسوتروپیک قبل‌نیز در شکلات ثابت شده است [۲ و ۱۲]. بر اساس پیشنهادهای IOCCC ارائه شده توسط می‌توان با افزایش زمان انتظار قبل از انجام اندازه‌گیری‌ها، میزان جابه‌جایی بین نمودارهای

در شکل ۲ تغییرات گرانروی بر حسب سرعت برشی نشان داده شده است. همان‌طور که مشاهده می‌شود شکلات تلح تولیدی رفتار شبیه پلاستیک (pseudoplastic) دارد. یعنی گرانروی در سرعت‌های برشی پایین بالا بوده و با افزایش جزئی سرعت برشی کاهش می‌یابد. همچنین، در شکل دیده می‌شود که پس از طی دو چرخه لگاریتمی این تغییرات تقریباً متوقف شده و میزان گرانروی ظاهری به مقداری ثابت رسیده و افزایش بیشتر سرعت برشی تاثیری بر میزان گرانروی Servais و نمونه‌ها ندارد. در راستای این نتایج، همکاران بیان کردند که گرانروی شکلات با افزایش سرعت برشی کاهش می‌یابد و در سرعت‌های برشی بالا گرانروی مستقل از سرعت برشی (Newtonian plateau) می‌شود [۹ و ۱۳ و ۱۴].

نمودار تنش برشی - سرعت برشی شکلات‌های تلح کم‌کالری در حالت‌های افزایشی و کاهشی (0.01 s^{-1} تا 60 s^{-1} و 60 s^{-1} تا 0.01 s^{-1})



شکل ۲ تاثیر نسبت‌های مختلف ($0, 25, 50, 75, 100$ درصد) جایگزین‌های قند (اینولین، پلی‌دکستروز و مالتودکسترین) روی نمودار گرانروی - سرعت برشی شکلات‌های تلح کم‌کالری در دمای 40°C

جدول ۲ مقایسه تاثیر نسبت‌های مختلف جایگزین‌های قند روی مقادیر متغیرهای مدل رئولوژیکی کاسون در شکلات تلح کم‌کالری

ش. تسليم (پلکل)	گرانروی کلسون (پاسکل) ^۰	گرانروی ظاهری (پاسکل ^۰)	ملودکسترین (گرم درصد)	پلی‌دکستروز (گرم درصد)	اینولین (گرم درصد)	ساکاروز (گرم درصد)	شماره نمونه
۱۳/۸۲	۳/۳۰	۱۴/۷	۴۲/۸	۰	۰	۰	۱
۱۲/۷۶	۳/۳۳	۱۴/۹	۳۲/۱	۱۰/۷	۰	۰	۲
۱۴/۴۳	۳/۳۰	۱۴/۹	۲۱/۴	۲۱/۴	۰	۰	۳
۱۵/۳۳	۳/۲۲	۱۴/۲	۱۰/۷	۳۲/۱	۰	۰	۴
۴/۵۳	۲/۰۳	۸/۱	۰	۴۲/۸	۰	۰	۵
۶/۹۶	۲/۸۵	۱۰/۵	۳۲/۱	۰	۱۰/۷	۰	۶
۸/۳۳	۲/۹۶	۱۱/۶	۲۱/۴	۱۰/۷	۱۰/۷	۰	۷
۴/۷	۳/۰۰	۱۱/۱	۱۰/۷	۲۱/۴	۱۰/۷	۰	۸
۱۰/۷۳	۲/۶۷	۹/۹۷	۰	۳۲/۱	۱۰/۷	۰	۹
۶/۶۴	۲/۷۷	۹/۹۱	۲۱/۴	۰	۲۱/۴	۰	۱۰
۵/۳۶	۲/۷۱	۹/۳۶	۱۰/۷	۱۰/۷	۲۱/۴	۰	۱۱
۵/۲۸	۲/۶۹	۹/۲۱	۰	۲۱/۴	۲۱/۴	۰	۱۲
۶/۹۵	۲/۹۲	۱۰/۸	۱۰/۷	۰	۳۲/۱	۰	۱۳
۷/۵۱	۲/۹۵	۱۱/۱	۰	۱۰/۷	۳۲/۱	۰	۱۴
۹/۰۶	۳/۶۹	۱۴/۹	۰	۰	۴۲/۸	۰	۱۵
۱۱/۲۵	۲/۶۹	۱۰/۱	۰	۰	۴۲/۸	۰	شاهد

۰ و ۵۰ درصد اینولین بودند شاید بتوان نتیجه گرفت پلی‌دکستروز و اینولین بیشتر از مالتودکسترین موجب کاهش گرانروی شده است. کاهش گرانروی در ترکیبات حاوی اینولین و پلی‌دکستروز قبل از نیز گزارش شده است. به طوری که در پژوهش Shah و همکاران نیز بعضی از نمونه‌های شکلات

گرانروی کاسون نمونه‌های مختلف در جدول ۲ مقایسه شده است. گرانروی کاسون دو نمونه ۵ و ۹ پایین‌تر و گرانروی کاسون نمونه ۱۲ مشابه نمونه شاهد بود. از آنجایی که نمونه ۵ و ۹ به ترتیب دارای ۱۰۰، ۷۵ و ۵۰ درصد پلی‌دکستروز و

۱۳، ۶، ۷ و ۱۱ دارای گرانروی بالای بودند. نمونه ۴، ۸ و ۷ دارای درصد پلی‌دکستروز بالای هستند. پس علاوه بر جاذب‌الرطوبه بودن این ترکیب وزن مولکولی بالای آن نیز ممکن است دلیل گرانروی بالای این نمونه‌ها باشد. همان‌طور که قبلًا گفته شد نمونه ۱۴ دارای کمترین میزان رطوبت در بین نمونه‌ها بود بنابراین، گرانروی بالای این نمونه را می‌توان به رطوبت کم آن نسبت داد. در ضمن، میزان گرانروی کاسون برای شکلات‌تاخته بین ۲/۱ تا ۳/۹ پاسکال ثانیه گزارش شده است [۱۸]، که گرانروی تمامی نمونه‌ها در این محدوده می‌باشدند.

تش‌تسليم نيز يكى از ويژگى هايى است که نشان دهنده حداقل تش بشري لازم برای جريان يافتن ماده مى باشد [۱۵]. مقادير تنش تسليم محاسبه شده برای نمونه‌های مورد آزمون نيز در جدول ۱ نشان داده شده است. تنش تسليم کاسون برای شکلات‌تاخته بین ۳۲-۴ پاسکال گزارش شده است [۱۸] که تمامي نمونه‌ها در اين محدوده قرار دارند. تقریباً تمامی نمونه‌ها (به استثنای نمونه ۱ و ۲) دارای تنش تسليم کمتری از نمونه شاهد هستند. پس می‌توان نتيجه گرفت که جای‌گزینی ساکاروز با ترکیبات جای‌گزین سبب کاهش تنش تسليم شده است. کمترین تنش تسليم هم به ترتیب مربوط به نمونه‌های ۵، ۸ و ۱۲ می‌باشد. چون نمونه ۵، ۱۰۰ درصد و نمونه ۸ و ۱۲ درصد پلی‌دکستروز دارند می‌توان نتيجه گرفت پلی‌دکستروز بيش از دو ترکيب دیگر سبب کاهش تنش تسليم شده است. بيش ترین تنش تسليم نيز مربوط به نمونه‌های ۱ و ۲ بود که به ترتیب دارای ۱۰۰ و ۷۵ درصد مالتودکسترين بودند. اصولاً میزان تنش تسليم به عوامل مختلفی بستگی دارد که از آن جمله می‌توان به: ۱- اندازه ذرات: با افزایش اندازه ذرات تنش تسليم به طور قابل ملاحظه‌ای کاهش می‌یابد، ۲- دما و زمان کونچ‌کردن [۲۰-۳] میزان لستین [۱۹] و با توجه به يافته‌های اين بررسی احتمالاً به جای‌گزینی ساکاروز با اينولين، پلی‌دکستروز و مالتودکسترين اشاره کرد که البته کاهش تنش تسليم با استفاده از اينولين به عنوان ترکيب پرکننده در تهيه شکلات قبلًا نيز گزارش شده است [۲۰]. در پژوهش فرزان‌مهر و همکاران نيز تنش گرانروی آن‌ها از نمونه شاهد نيز کمتر است. نمونه بيشتر بود [۵]. در بررسی که Shah و همکاران روی تولید شکلات‌کمال‌الرطوبه با استفاده از شربت‌های کنند و اينولين و پلی‌دکستروز به عنوان پرکننده انجام دادند نيز کاهش تنش تسليم مشاهده شد [۱۵].

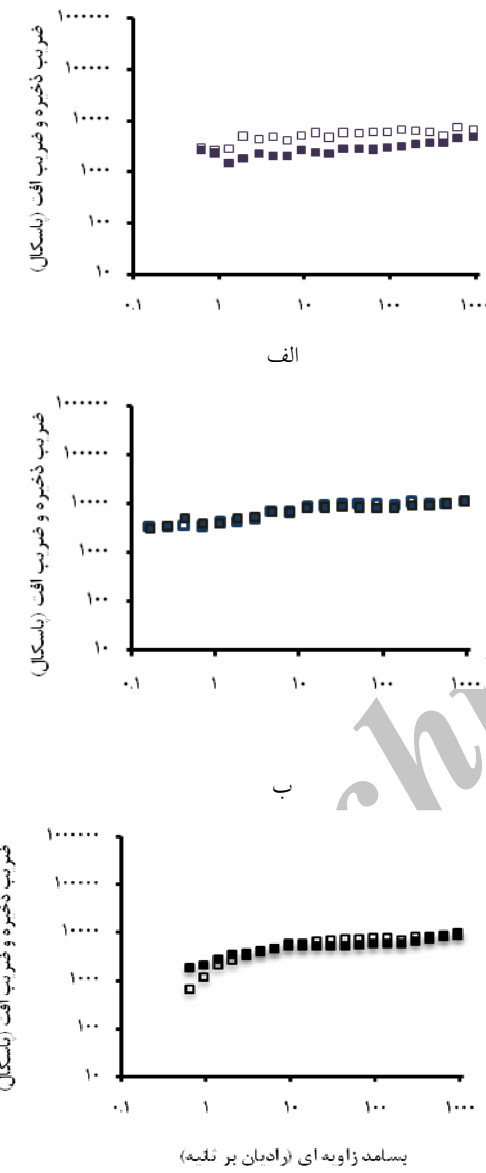
همان‌طور که دیده می‌شود نمونه‌های ۵، ۱۱، ۱۲، ۱۰ و ۹ به ترتیب دارای کمترین میزان گرانروی ظاهری می‌باشند بهطوری که گرانروی ظاهری آن‌ها از نمونه شاهد نيز کمتر است. نمونه-

کمال‌الرطوبه اينولين و پلی‌دکستروز گرانروی کمتری از نمونه شاهد داشتند البته گرانروی نمونه‌هایی که دارای اينولين با درجه پلیمريزاسيون بسيار بالا بودند، بسيار بيشتر از نمونه شاهد بود [۱۵]. احتمالاً چون در بررسی حاضر اين نمونه دارای ۱۰۰ درصد اينولين می‌باشد، لذا شاید اين گرانروی بالا به جاذب‌الرطوبه بودن اينولين و اتصال به مولکول‌های آب مربوط باشد که از کاهش رطوبت در مرحله کونچ‌کردن و سائر مراحل تولید شکلات جلوگیری می‌کند. همان‌طور که قبلًا دیده شد اين نمونه دارای درصد رطوبت بالاي نيز بود. در مطالعه‌اي

که تأثیر کاربرد D-تاکاتوز و اينولين به عنوان جای‌گزین ساکاروز بر بعضی ويژگی‌های رئولوژيکی و حسی شکلات‌تاخته بررسی شد نيز نتایج نشان داد که با کاهش میزان اينولين در نمونه‌ها، گرانروی ظاهری و پلاستيك کاهش یافت [۱۳]. اين اثر در پژوهش فرزان‌مهر و همکاران نيز تایید شد [۵]. پس از نمونه ۱۵ به ترتیب نمونه‌های ۱، ۲ و ۳ دارای گرانروی بالاتری بودند. البته نمونه ۱ و ۳ دارای گرانروی برابر بودند. همان‌طور که قبلًا دیده شد نمونه ۱ دارای بالاترین میزان رطوبت در میان نمونه‌ها بود و نمونه‌های ۲ و ۳ نيز دارای درصد رطوبت بالاي بودند بنابراین، شاید بتوان اين رطوبت بالا را دليل افزایش گرانروی اين نمونه‌ها دانست.

نمونه‌های ۱، ۲ و ۳ به ترتیب دارای ۱۰۰، ۷۵ و ۵۰ درصد مالتودکسترين هستند. افزایش گرانروی در ترکیبات دارای مالتودکسترين قبلًا نيز گزارش شده است. در تحقیقی که روی بررسی افزودن مالتودکسترين بر پايداري امولسيون‌های روغن در آب انجام شد، مالتودکسترين سبب افزایش گرانروی شد [۱۶]. علاوه بر ويژگی جاذب‌الرطوبه بودن مالتودکسترين که ممکن است يكى از دلایل گرانروی بالاتر این نمونه‌ها باشد، دليل دیگر این امر ممکن است پدیده‌ی تجمع تخلیه‌ای در نسبت‌های بالای مالتودکسترين باشد. Klinkesorn و همکاران در تحقیقی که روی پايداري امولسيون‌های روغن ذرت در آب حاوی مالتودکسترين انجام دادند نشان دادند که مالتودکسترين در غلظت‌های بالاتر از غلظت بحرانی سبب افزایش گرانروی می‌گردد و علت اين پدیده را تجمع تخلیه‌ای (Depletion flocculation) بيان نمودند [۱۷]. زيرا زمانی که ذرات تجمع پيدا می‌کنند، گرانروی به دليل درگير شدن فاز پيوسته در ميان ذرات توده شده افزایش می‌يابد. در بررسی اخير هم به نظر مى‌رسد غلظت بحرانی در حدود ۵۰ درصد باشد. پس از اين ۳ نمونه به ترتیب نمونه‌های ۴، ۷، ۸، ۱۴،

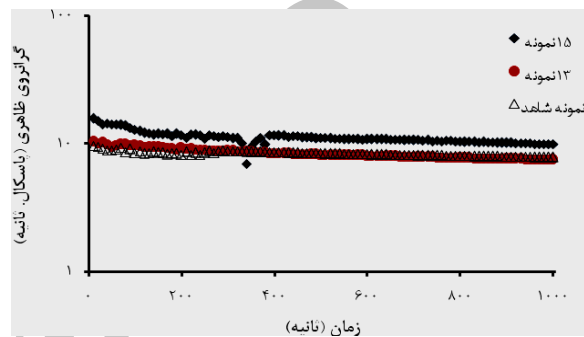
اکثر نواحی نمودار ضریب ذخیره بیشتر از ضریب افت است فقط در بعضی نواحی ضریب ذخیره و افت بر هم منطبق هستند که نشان می‌دهد رفتار جامدمانند آن از نمونه ۱۳ کمتر است. در نمودار نمونه شاهد نیز به جز چند نقطه در بقیه نقاط ضریب ذخیره بیشتر از ضریب افت است و این نشان می‌دهد جای‌گزینی ساکاروز با اینولین، پلی‌دکستروز و متالودکسترین تاحدودی بر ویژگی‌های ویسکوالاستیک نمونه‌ها اثر گذاشته است.



شکل ۴ تأثیر نسبت‌های مختلف جای‌گزین‌های قند روی ضرایب افت و ذخیره (G' و G'' : ■ و □) به صورت تابعی از بسامد زاویه‌ای برای نمونه‌های شکلات تلح کمالی اندازه‌گیری شده در دمای ۴۰ درجه‌ی سانتی‌گراد و میزان کرنش ۰/۰۱ درصد (الف: نمونه ۱۳، ب: نمونه ۱۵ و ج: نمونه شاهد).

های ۶، ۷، ۱۴، ۸، ۱۳، ۲، ۱، ۷ و ۱۵ هم به ترتیب دارای گرانزوی ظاهری بیشتری هستند که دلایل این روند در بخش مربوط به گرانزوی کاسون توضیح داده شده است.

در شکل ۳ گرانزوی ظاهری نمونه‌های ۱۳، ۱۵ و شاهد در سرعت برشی ثابت 50^{-1} در مقابل زمان نشان داده شده است. همان‌طور که مشاهده می‌شود گرانزوی این نمونه‌ها مستقل از زمان بوده و با گذشت زمان تغییری نمی‌کند. این موضوع موید نتایج ارائه شده در شکل ۱ است که رفتار تیکسوتروپیک یا نرم شوندگی برشی محسوسی در نمونه‌ها مشاهده نشد و در اغلب موارد نمودارهای رفت و برگشتی روی هم دیگر منطبق بودند.



شکل ۳ مقایسه نمودار گرانزوی به صورت تابعی از زمان برای نمونه‌های ۱۳ (●) و ۱۵ (◆) شاهد (△) شکلات تلح کمالی در دمای ۴۰ درجه سانتی‌گراد و سرعت برشی ثابت (50s^{-1})

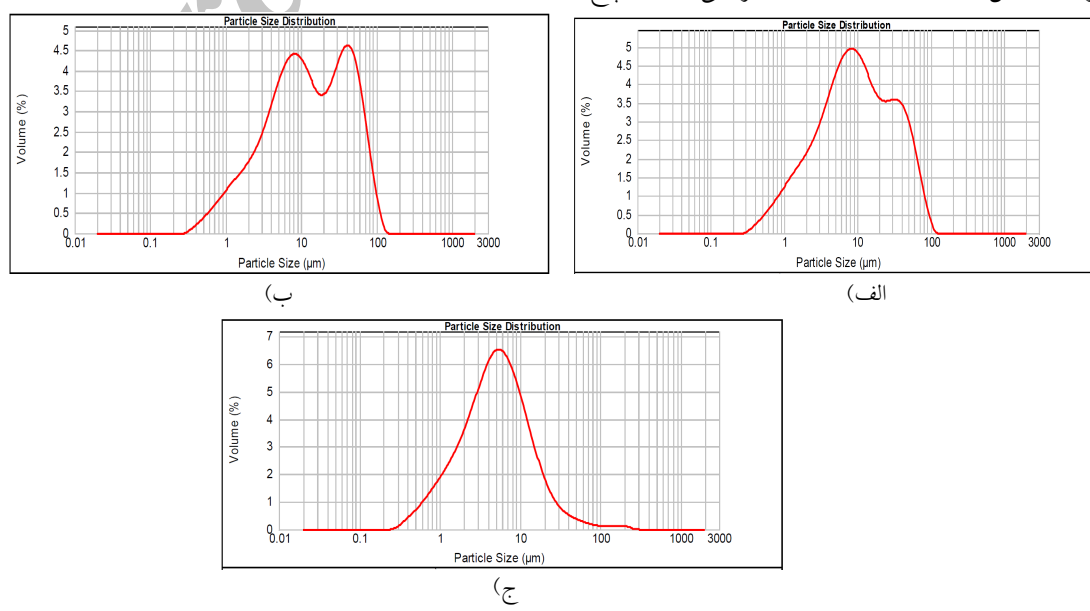
۳-۳- بررسی نتایج آزمون نوسانی

آزمون نوسانی (Oscillatory testing) متداول‌ترین روش مطالعه‌ی رفتار ویسکوالاستیک مواد غذایی است که از نتایج آن می‌توان برای بررسی ترکیب شیمیایی و ساختار فیزیکی مواد نیز استفاده نمود. برای تعیین ویژگی‌های ویسکوالاستیک نمونه‌ها از دو عامل ضریب ذخیره (G') و ضریب افت (G'') استفاده می‌شود. ضریب ذخیره بزرگی انرژی ذخیره شده در ماده و ضریب افت بزرگی انرژی تلف شده را نشان می‌دهند. از این‌رو، برای یک ماده الاستیک کامل که تمام انرژی اعمال شده را ذخیره کند مقدار G'' صفر است. هم‌چنین، در مایعی که فاقد هرگونه ویژگی الاستیک است تمام انرژی به صورت گرما تلف شده و G' برابر صفر خواهد بود. مواد غذایی بین این دو حالت بوده و ویسکوالاستیک هستند [۷]. پس از بررسی نتایج حاصل از ارزیابی حسی دو نمونه (۱۳ و ۱۵) که از نظر ارزیاب‌ها به نمونه شاهد نزدیک‌تر بودند به منظور انجام آزمون نوسانی انتخاب شدند. شکل ۴ نتایج آزمون نوسانی این دو نمونه را نشان می‌دهد. همان‌طور که دیده می‌شود در نمونه ۱۳ ضریب ذخیره بیشتر از ضریب افت و نشان می‌دهد در این نمونه رفتار جامد مانند، حاکم است. در نمونه ۱۵ نیز در

۴-۴- اندازه ذرات

غلتک، اندازه ذرات شکلات را کاهش می‌دهند در صورتی که نمونه‌های این بررسی در شرایط آزمایشگاهی تولید و شاید بیشتر بودن اندازه ذرات نمونه‌ها نسبت به نمونه شاهد به این دلیل باشد.

در شکل ۵ منحنی توزیع اندازه ذرات نمونه‌های ۱۳، ۱۵ و شاهد نشان داده شده است. همان‌طور که دیده می‌شود منحنی مربوط به نمونه شاهد دارای منحنی زنگوله‌ای شکل و توزیع نرمالی است. در حالی که نمونه ۱۵ و پس از آن نمونه ۱۳ دارای منحنی غیر یکنواختی هستند. ساکاروز حدود ۴۰-۵۰ درصد از ذرات جامد معلق در چربی موجود در شکلات را تشکیل می‌دهد بنابراین، ویژگی‌های عملکردی آن شامل شیرینی، پایداری، توزیع اندازه ذرات و اثر آن بر بافت و ویژگی‌های رئولوژیکی محصول در تولید شکلات از اهمیت ویژه‌ای برخوردار است [۲]. پس شاید نرمال بودن توزیع اندازه ذرات نمونه شاهد را بتوان به حضور ساکاروز و یکنواخت بودن ذرات موجود در نمونه شاهد نسبت داد. نمونه ۱۵ نیز که دارای ۱۰۰ درصد اینولین است نسبت به نمونه ۱۳ که هم اینولین و هم مالتودکسترین دارد دارای توزیع نرمال‌تری می‌باشد. در سال ۲۰۰۸، Afaoakwa و همکاران تاثیر توزیع اندازه ذرات بر ساختار و ویژگی‌های رئولوژیکی شکلات تlux را بررسی کردند. نتایج نشان داد با افزایش اندازه ذرات گرانزوی کاسون، تنش تسلیم، گرانزوی ظاهری و تیکسوتروبی کاهش می‌یابد [۱۱]. در سال ۲۰۱۰، Shah و همکاران نیز نوعی شکلات شیری بدون ساکاروز با استفاده از عصاره استویا به عنوان شیرین‌کننده و اینولین و پلی‌دکستروز به عنوان حجم‌دهنده تولید کردند. نتایج نشان داد جایگزینی ساکاروز اثری بر توزیع اندازه ذرات نداشت [۱۵].



شکل ۵ توزیع اندازه ذرات نمونه‌های الف: ۱۳، ب: ۱۵ و ج: شاهد.

توزیع اندازه ذرات یک شاخص کلیدی در ویژگی‌های رئولوژیکی شکلات است که به طور مستقیم بر پذیرش حسی شکلات موثر است. ذرات درشت به دلیل شنی بودن در احساس دهانی بسیار موثرند اما ذرات ریز به دلیل تاثیر بر ویژگی‌های جریانی شکلات مهم‌تر هستند [۶]. کاهش اندازه ذرات سبب افزایش گرانزوی و تنش تسلیم می‌شود [۵]. ذرات درشت (d90) در ایجاد احساس دهانی بسیار مهم هستند در حالی که ذرات ریز بر ویژگی‌های جریانی تاثیر دارند. با توجه به استاندارهای موجود میانگین اندازه ذرات شکلات قابل پذیرش در آمریکا بین ۳۵-۴۰ میکرون و حداقل ۵۰ میکرون و در اروپا بین ۲۰-۲۳ میکرون و حداقل ۴۰-۴۵ میکرون است [۱۱].

نتایج تعیین اندازه ذرات نمونه‌های ۱۳، ۱۵ و شاهد (یک نمونه تجاری) در شکل ۵ نشان داده شده است. همان‌طور که مشاهده می‌شود متوسط اندازه ذرات هر دو نمونه از نمونه شاهد بیشتر است که این احتمالاً به دلیل جاذب الرطوبه بودن اینولین، پلی‌دکستروز و مالتودکسترین و جذب رطوبت در مرحله کونچ کردن و سایر مراحل تولید و نگهداری می‌باشد. زیرا این مواد پس از جذب رطوبت به هم چسبیده و ذرات درشت تری را تولید می‌کنند. نمونه ۱۵ که حاوی ۱۰۰ درصد اینولین است نیز متوسط اندازه ذرات کم‌تری از نمونه ۱۳ با ۷۵ درصد اینولین و ۲۵ درصد مالتودکسترین دارد. درصد رطوبت اینولین کمتر از دو حجم‌دهنده دیگر است، بنابراین شاید کمتر بودن اندازه ذرات نمونه ۱۵ با ۱۰۰ درصد اینولین نسبت به نمونه ۱۳ به این دلیل باشد. در صنعت شکلات سازی در مرحله کاهش اندازه ذرات با استفاده از ترکیبی از دو یا پنج

- [5] Farzanmehr H, Abbasi S, Sahari MA. (2008). Effect of sugar replacer on some physicochemical, rheological and sensory properties of milk chocolate. *Iranian Journal of Food Science & Technology*, 3(3):65-82 [in Persian].
- [6] Beckett, S. T. (2000). *The Science of Chocolate*. London: Royal Society of Chemistry Paperbacks.
- [7] Barnes HA. (2008). *Handbook of elementary rheology*. Translated by Abbasi S. Tehran: Marzedanesh Publications [In Persian].
- [8] Chevalley, J. (1994). Traditional chocolate making, In: *Industrial Chocolate Manufacture and Use*, ed. Beckett, S. T., PP. 1-7. London: Blackie Academic and Professional.
- [9] Abbasi, S. and Farzanmehr, H. (2009). Rheological properties of prebiotic milk chocolate. *Food Technology and Biotechnology*, 47: 396-403.
- [10] Keogh, M. K., Murray, C. A., and O' Kennedy, B. T. (2003). Effect of selected properties of ultrafiltered spray-dried milk powders on some properties of chocolate. *International Dairy Journal*, 13: 719-726.
- [11] Afoakwa, E.O., Paterson, A., Fowler, M. and Vieira, J. (2008). Effects of particle size distribution and composition on rheological properties of dark chocolate. *European Food Research and Technology*, 226: 1259-1268.
- [12] Becu, M., Fonoll, J. R., Hospied, E., Liegeois, S., Haut, B. and Debaste, F. (2010). Study of the rheological behavior of chocolate and margarine. *Biotechnology, Agronomy, Society and Environment*, 14(S2): 537-540.
- [13] Shourideh M, Taslimi A, Azizi MH, Mohammadifar MA, Mashayekh M. (2010). Effects of D-Tagatose , inulin and stevia as sugar substitutes on the physical, chemical, rheological and sensory properties of dark chocolate. *Iranian Journal of Food Science & Technology*, 5 (3) :29-38 [in Persian].
- [14] Servais, C., Ranc, H. and Roberts. I.D. (2004). Determination of chocolate viscosity, *Journal of Texture Studies*, 34: 467-497.
- [15] Shah, A. B., Jones, G.P. and Vasiljevic, T. (2010) Sucrose-free chocolate sweetened with Stevia rebaudiana extract and containing different bulking agents – effects on physicochemical and sensory properties. *International Journal of Food Science and Technology*, 45:1426-1435.

البته باید توجه شود که کارهای اشاره شده در بالا همه در حد صنعتی تولید شده بودند و احتمالاً تفاوت اندازه ذرات نمونه‌های تولیدی در این بررسی با نمونه تجاری به تفاوت در مرحله کاهش اندازه ذرات قبل از کونچ کردن بستگی دارد زیرا در صنعت این کار به کمک چند غلتک صورت می‌گیرد اما در بررسی حاضر به صورت دستی و با استفاده از چند الک انجام شد. هرچند این روش دستی نیز ذرات را به حدی ریز کرد، که همان طور که در شکل ۵ دیده می‌شد، زیر آستانه چشایی بود.

۴- نتیجه گیری

نتایج این پژوهش نشان داد که همه نمونه‌های شکلات تولیدی دارای ویژگی تیکسوتروپیک بوده و رفتار شبیه پلاستیک از خود نشان دادند. از بین مدل‌های ریاضی ارزیابی شده جهت پیشگویی ویژگی‌های رئولوژیکی شکلات، مدل کاسون مناسب‌ترین مدل برای این منظور تشخیص داده شد. جایگزینی ساکاروز تاثیر کمی بر ویژگی‌های ویسکوالاستیک نمونه‌ها داشت و گرانروی نمونه‌ها مستقل از زمان بود. اندازه ذرات نمونه‌های تولیدی اگرچه از نمونه تجاری بیشتر بود اما زیر آستانه چشایی بود. در مجموع با استفاده از یافته‌های این بررسی می‌توان شکلات تلخ کم‌کالری پری‌بیوتیکی تولید کرد که از لحاظ ویژگی‌های رئولوژیکی تفاوت قابل ملاحظه‌ای با شکلات معمولی ندارد.

۵- منابع

- [1] Zehner, L. R. and Zehner, W. L. (2004). Mixtures of fructose and lactose as a low-calorie bulk sweetener with reduced glycemic index. U. S. Patent, Number 6,777,397.
- [2] Sokmen, A., and Gunes, G. (2006). Influence of some bulk sweeteners on the rheological properties of chocolate. *Lebensmittel-Wissenschaft und Technologie*, 39: 1053-1058.
- [3] Bourne, MC. (2007). Food texture and viscosity: Concept and measurement. 2nd ed. Translated by Abbasi S. Tehran: Marzedanesh Publications, [In Persian].
- [4] Afoakwa, E.O., Paterson, A. and Fowler, M. (2007). Factors influencing rheological and textural qualities in chocolate. *Trends in Food Science and Technology*, 18: 290-298.

- determine the factors affecting the measurement of chocolate viscosity. *Journal of Texture Studies*, 31: 541–576.
- [19] Schantz, B. and Rohm, H.)2005). Influence of lecithin–PGPR blends on the rheological properties of chocolate. *Lebensm.-Wiss. u.-Technology*, 38: 41–45.
- [20] Bolenz, S., Amtsberg, K., and Schäpe, R. (2006). The broader usage of sugars and fillers in milk chocolate made possible by the new EC cocoa directive. *International Journal of Food and Technology*, 41: 45–55.
- [16] Udomrati, S., Ikeda Sh. and Gohtani, Sh. (2011). The effect of tapioca maltodextrins on the stability of oil-in-water emulsions. Available at: www.starch-journal.com
- [17] Klinkesorn, U., Sophanodora, P., Chinachoti, P., and McClements, D. J. (2004). Stability and rheology of corn oil-in-water emulsions containing maltodextrin. *Food Research International*, 37: 851–859.
- [18] Aeschlimann, J.M. and Beckett, S.T. (2000). International inter-laboratory trials to

Archive of SID

Effects of inulin and bulking agents on rheological properties and particle size distribution of low calorie dark chocolate

Bitaraf, SH.¹, Abbasi, S.^{2*}, Hamidi Esfahani, Z.³

1. MSc Graduate in Food Science & Technology, Faculty of Agriculture, Tarbiat Modares University
2. Associate Prof in Food Science & Technology, Faculty of Agriculture, Tarbiat Modares University.
3. Associate Prof in Food Science & Technology, Faculty of Agriculture, Tarbiat Modares University

(Received: 92/1/16 Accepted: 92/4/29)

Molten dark chocolate is a dispersion of solid particles including sugar and cocoa powder in a continuous phase of cocoa butter. Hence, the rheological properties as well as the particle size distribution of ingredients in chocolate are very important for obtaining high-quality products with well-defined texture. Therefore, the present study aimed to evaluate the effects of sugar substitutes on rheological characteristics and particle size distribution of prebiotic dark chocolate. For doing this, a prebiotic compound (inulin) in combination with bulking agents (polydextrose and maltodextrin) at different levels (0–100 %) along with sucralose were used. Based on our findings, all the treated samples showed thixotropic and pseudoplastic behavior and the Casson mathematical model most closely fitted to the rheological data. Furthermore, the sucrose replacement slightly affected the viscoelastic properties and the viscosity of the samples was time independent. In terms of the particle size, they were somewhat larger than the commercial one but still below the taste threshold.

Keywords: Low calorie dark chocolate, Inulin; Polydextrose, Maltodextrin, Rheological properties, Particle size distribution.

* Corresponding Author E-Mail Aadress: sabbasifood@modares.ac.ir